

#### 4. Konforme Abbildungen

(45)

Def.: Eine lineare Abbildung  $A: \mathbb{R}^k \rightarrow \mathbb{R}^k$ ,  $x \mapsto Ax$  mit  $k \in \mathbb{N}$  heißt Winkeltreu (oder: Winkelerhaltend), wenn ein  $s > 0$  existiert, so dass  $A^T A = s^2 E_k$  ( $k \times k$  Einheitsmatrix).

Bem. und Bsp.: (1) Ist  $A^T A = s^2 E_k$ , so gilt für alle  $x, y \in \mathbb{R}^k \setminus \{0\}$ , dass

$$\langle Ax, Ay \rangle = \langle x, A^T A y \rangle = s^2 \langle x, y \rangle,$$

was für  $x=y$   $|Ax| = s|x|$  bedeutet. Daher gilt in diesem Fall

$$\frac{\langle Ax, Ay \rangle}{|Ax| |Ay|} = \frac{s^2 \langle x, y \rangle}{s|x| s|y|} = \frac{\langle x, y \rangle}{|x| |y|}.$$

Der  $\cos(\angle(x, y))$  bleibt unter  $A$  also erhalten.

(2) Hierreichende Bedingungen für die Winkeltreue von  $A$  sind:

(i) Es gibt ein  $s > 0$ , so dass für alle Einheitsvektoren  $e \in \mathbb{R}^k$  gilt  $|Ae| = s$ , oder

(ii)  $A \neq 0$  und für alle  $x, y \in \mathbb{R}^k$  mit  $\langle x, y \rangle = 0$  ist  $\langle Ax, Ay \rangle = 0$ .

(Bew. als Übungsaufgabe)

(3) Seien  $B: \mathbb{R}^k \rightarrow \mathbb{R}^e$  und  $A: \mathbb{R}^e \rightarrow \mathbb{R}^n$  Winkelerhaltend, (46)

also  $A^T A = s^2 E_e$  und  $B^T B = \sigma^2 E_k$  mit  $s, \sigma > 0$ . Dann ist

$$(AB)^T (AB) = B^T A^T A B = s^2 B^T E_e B = s^2 B^T B = s^2 \sigma^2 E_k.$$

Die Verküpfung Winkelerhaltender linearer Abbildungen ist also wieder Winkelerhaltend.

(4) Bsp.: Die Einbettung  $j: \mathbb{R}^k \rightarrow \mathbb{R}^n$ , Drehungen, Spiegelungen, Streckungen (homogen in jede Raumrichtung, also  $A = \lambda E$ ) und alles, was man daraus zusammenbauen kann.

Def.: Eine differenzierbare Abbildung  $f: \mathbb{R}^k \supset \Omega \rightarrow \mathbb{R}^n$

heißt (a) konform in  $x_0 \in \Omega$ , wenn  $Df(x_0)$  Winkelerhaltend ist,

(b) konform (in  $\Omega$ ), wenn  $f$  in jedem  $x_0 \in \Omega$  konform ist.

Bew.: (1) Translationen  $x \mapsto x + b$  ( $b \in \mathbb{R}^n$  fest) sind (bei dieser Wahl der Begriffe) konform, aber nicht Winkeltreu.

(2) Aufgrund der Kettenregel ist die Verküpfung konformer Abbildungen wieder konform.

(3) Geometrische Interpretation: Die Schnittwinkel differenzierbarer Kurven bleiben unter

konforme Abbildungen erhalten. Daraus ist gleichzeitig (47)

Seien  $\alpha, \beta: \mathbb{R} \supset I \rightarrow \Omega \subset \mathbb{R}^k$  diff'bar mit

$$\alpha(t_0) = \beta(t_0) = x_0 \in \Omega \quad \text{und} \quad \alpha'(t_0) \neq 0 \neq \beta'(t_0)$$

und  $f: \Omega \rightarrow \mathbb{R}^k$  konform in  $x_0$  mit  $Df(x_0)^T Df(x_0) = s^2 E_k$

(wobei  $s = s(x_0)$ ). Daraus ist nach der Kettenregel:

$$\begin{aligned} \frac{\langle (f \circ \alpha)'(t_0), (f \circ \beta)'(t_0) \rangle}{|(f \circ \alpha)'(t_0)| |(f \circ \beta)'(t_0)|} &= \frac{\langle Df(x_0) \cdot \alpha'(t_0), Df(x_0) \cdot \beta'(t_0) \rangle}{|Df(x_0) \cdot \alpha'(t_0)| |Df(x_0) \cdot \beta'(t_0)|} \\ &= \frac{s(x_0)^2 \langle \alpha'(t_0), \beta'(t_0) \rangle}{s(x_0) |\alpha'(t_0)| s(x_0) |\beta'(t_0)|} = \frac{\langle \alpha'(t_0), \beta'(t_0) \rangle}{|\alpha'(t_0)| |\beta'(t_0)|} \end{aligned}$$

Lemma 1: Ist  $f: \mathbb{C} \supset \Omega \rightarrow \mathbb{C}$  holomorph und

$$\frac{\partial f}{\partial \bar{z}}(z) \neq 0 \quad \forall z \in \Omega \quad \text{oder} \quad \text{antiholomorph mit} \quad \frac{\partial f}{\partial z}(z) \neq 0$$

$\forall z \in \Omega$ . Dann ist  $f$  konform.

Bew.: Im ersten Fall haben wir  $Df(z) = \begin{pmatrix} \alpha & -\beta \\ \beta & \alpha \end{pmatrix}$

$$\text{mit} \quad \alpha = \frac{\partial f}{\partial x}(z) = \frac{\partial f}{\partial y}(z) \quad \text{und} \quad \beta = -\frac{\partial f}{\partial y}(z) = \frac{\partial f}{\partial x}(z) \quad \text{und}$$

daher

$$Df(z)^T Df(z) = \begin{pmatrix} \alpha & \beta \\ -\beta & \alpha \end{pmatrix} \begin{pmatrix} \alpha & -\beta \\ \beta & \alpha \end{pmatrix} = (\alpha^2 + \beta^2) \begin{pmatrix} 1 & 0 \\ 0 & 1 \end{pmatrix}$$

$$\text{mit} \quad \alpha^2 + \beta^2 = |\alpha + i\beta|^2 = |f'(z)|^2 = \left| \frac{\partial f}{\partial z}(z) \right|^2 > 0$$

$\underbrace{\hspace{10em}}_{\neq \text{holo.}} \quad \text{u.v.}$

Im zweiten Fall ist  $\bar{f}$  holomorph, ~~und nach dem ersten~~  
 Teil also konform. Da die Spiegelung  $\tau: z \mapsto \bar{z}$   
 konform ist, ist auch  $f = \tau \circ \bar{f}$  konform.  $\square$

Rem.: Einen geometrischen Unterschied zwischen holomorphen und anti-holomorphen gibt es allerdings: (48)

Ist  $f: \Omega \rightarrow \mathbb{C}$  holomorph, so hat die Jacobi-Matrix von  $f$  die Gestalt

$$Df(z) = \begin{pmatrix} \alpha & -\beta \\ \beta & \alpha \end{pmatrix}$$

Wofür die Determinante  $\det Df(z) = \alpha^2 + \beta^2 = \left| \frac{\partial f}{\partial z}(z) \right|^2$ . Diese ist positiv, wenn  $\frac{\partial f}{\partial z}(z) \neq 0$  ist, und das heißt:  $Df(z)$  ist orientierungstreu. Ist  $f$  hingegen anti-holomorph, so ist  $f = \overline{\bar{f}}$  die Verküpfung einer holomorphen Funktion ( $\bar{f}$ ) und der orientierungs-umkehrenden Spiegelung an der  $x$ -Achse. Daher ist  $Df(z)$  in diesem Fall orientierungs-umkehrend.

Kehren wir noch einmal zur allgemeinen Situation

$$f: \mathbb{R}^k \supset \Omega \rightarrow \mathbb{R}^n$$

zurück. Dabei liefert das folgende Lemma eine hinreichende (nicht notwendige, betrachte  $f(z) = \bar{z}^2$ ) Bedingung für Konformität.

Lemma 2: Es seien  $f \in C^1(\Omega, \mathbb{R}^n)$  und  $\delta: \Omega \rightarrow (0, \infty)$  stetig, so dass für alle  $x, y \in \Omega$  die Gleichung

$$|f(x) - f(y)|^2 = \delta(x) \delta(y) |x - y|^2$$

besteht. Dann ist  $f$  konform und es gilt

$$Df(x)^T Df(x) = \delta(x)^2 E_k.$$

Bew.: Wir schreiben  $y = x+h$  und haben

$$f(x+h) - f(x) = Df(x)h + \varphi(h)$$

mit  $\lim_{h \rightarrow 0} \frac{\varphi(h)}{|h|} = 0$ . Hieraus folgt

$$g(x) g(x+h) |h|^2 = |f(x+h) - f(x)|^2$$

$$= \langle Df(x) \cdot h + \varphi(h), Df(x) \cdot h + \varphi(h) \rangle.$$

Nach Division durch  $|h|^2$  mit  $\hat{h} = \frac{h}{|h|}$  also:

$$g(x) g(x+h) = \langle \hat{h}, Df(x)^T Df(x) \hat{h} \rangle + \langle \frac{\varphi(h)}{|h|}, 2Df(x)\hat{h} + \frac{\varphi(h)}{|h|} \rangle$$

Jetzt  $h = te$  mit einem beliebigen festen Einheitsvektor  $e \in \mathbb{R}^k$  und dann  $t \rightarrow 0$ . Ergibt

$$g(x)^2 = \langle e, Df(x)^T Df(x) e \rangle.$$

Nach Bem. (2) zur Def. von Winkelkosen ist  $Df(x)$  Winkelkosen, für den Zusatz wähle man  $e = e_i$ ,  $1 \leq i \leq k$ . □

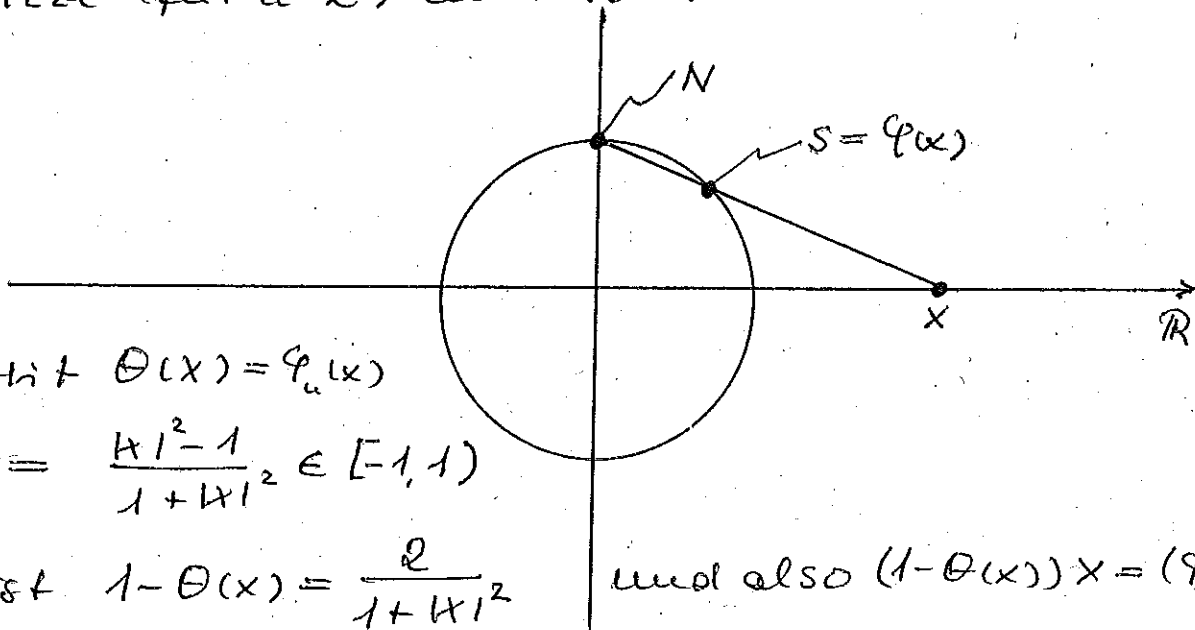
Das Lemma benutzen wir im nächsten Beispiel zur Nachweis der Kompaktheit. Dies Bsp. ist un-  
merklich so wichtig, dass wir es als "Satz" formulieren:  
Zuerst?

Satz 1: Für  $u \geq 2$  sei  $\varphi: \mathbb{R}^{u-1} \rightarrow \mathbb{R}^u$ ,  $x \mapsto \varphi(x)$  definiert durch (50)

$$\varphi_i(x) := \frac{2x_i}{1+|x|^2} \quad (1 \leq i \leq u-1) \quad \text{und} \quad \varphi_u(x) := \frac{|x|^2 - 1}{1+|x|^2}$$

und  $S^{u-1} := \{s \in \mathbb{R}^u : |s| = 1\}$  sowie  $N = (0, \dots, 0, 1) \in S^{u-1}$  der "Nordpol" dieser Sphäre. Dann bildet  $\varphi$  den  $\mathbb{R}^{u-1}$  biektiv und konform auf  $S^{u-1} - \{N\}$  ab. Die Umkehrabbildung  $\psi := \varphi^{-1}: S^{u-1} - \{N\} \rightarrow \mathbb{R}^{u-1}$  hat die Gestalt  $\psi(s) = \frac{s'}{1-s_u}$ . Sie wird als "stereografische Projektion" bezeichnet. (Hierbei:  $s' = (s_1, \dots, s_{u-1})$ )

Skizze (für  $u=2$ ) und Bew.:



Mit  $\theta(x) = \varphi_u(x)$

$$= \frac{|x|^2 - 1}{1 + |x|^2} \in [-1, 1)$$

ist  $1 - \theta(x) = \frac{2}{1 + |x|^2}$  und also  $(1 - \theta(x))x = (\varphi_1(x), \dots, \varphi_{u-1}(x))$ .

Damit liegt  $\varphi(x) = (1 - \theta(x))(x, 0) + \theta(x) \cdot N$

auf einer Geraden, die  $(x, 0)$  und  $N$  verbindet.

Von der Sphäre aus betrachtet: Man erhält  $x = \psi(s)$

als zentralprojektion von  $s \in S^{u-1}$  vom Nordpol

aus auf den  $\mathbb{R}^{u-1}$ , der durch  $x \mapsto (x, 0)$  in den

$\mathbb{R}^u$  eingebettet ist.

Bew. des Satzes:

(i) Zuerst stellen wir fest, dass

$$|\varphi(x)|^2 = \sum_{i=1}^u \varphi_i(x)^2 = \frac{1}{(1+|x|^2)^2} \left( \sum_{i=1}^{u-1} 4x_i^2 + (|x|^2-1)^2 \right)$$

$$= \frac{1}{(1+|x|^2)^2} (4|x|^2 + |x|^4 - 2|x|^2 + 1) = \frac{(1+|x|^2)^2}{(1+|x|^2)^2} = 1.$$

Also ist  $\varphi(\mathbb{R}^{u-1}) \subset S^{u-1}$ . Wegen  $\varphi_u(x) < 1$  wird der Nordpol  $N$  nicht erreicht.

(ii) Nun seien  $S \in S^{u-1}, \{N\}$  und  $x \in \mathbb{R}^{u-1}$  mit  $\varphi(x) = S$ .

Dann gilt insbesondere

$$S_u = \frac{|x|^2-1}{|x|^2+1} \Leftrightarrow S_u(|x|^2+1) = |x|^2-1 \Leftrightarrow S_u+1 = |x|^2(1-S_u)$$

$$\Leftrightarrow |x|^2 = \frac{1+S_u}{1-S_u}.$$

(iii) Hieraus folgt die Injektivität von  $\varphi$ . Denn ist

$$\varphi(x) = \varphi(y) = S, \text{ so folgt aus (ii) } |x|^2 = \frac{1+S_u}{1-S_u} = |y|^2,$$

und damit

$$\varphi_i(x) = \varphi_i(y) \Leftrightarrow \frac{2x_i}{1+|x|^2} = \frac{2y_i}{1+|y|^2} \Leftrightarrow x_i = y_i \quad \forall i \in \{1, \dots, u-1\}.$$

(iv) Um zu  $S \in S^{u-1}, \{N\}$  ein Urbild  $x \in \mathbb{R}^{u-1}$  zu finden

ist neben  $S_i = \frac{2x_i}{1+|x|^2}$  ( $1 \leq i \leq u-1$ ) nach (ii) noch

$$|x|^2 = \frac{1+S_u}{1-S_u} \text{ erforderlich, also } 1+|x|^2 = \frac{2}{1-S_u}. \text{ Ein-}$$

setzen ergibt  $\frac{S_i}{1-S_u} = x_i$  ( $1 \leq i \leq u-1$ ). Mit  $S' = (S_1, \dots, S_{u-1})$

heißt das:  $\Upsilon(S) = \frac{S'}{1-S_u}$ . (Löst man die Rechnung

rückwärts, erhält man die Surjektivität von  $\varphi$ .)

Forts. des Beweises von Satz 1.

$$(v) \quad |\varphi(x) - \varphi(y)|^2 \stackrel{(1)}{=} 1 - 2\langle \varphi(x), \varphi(y) \rangle + 1 = 2(1 - \langle \varphi(x), \varphi(y) \rangle)$$

$$= 2 \frac{1}{(1+|x|^2)(1+|y|^2)} ((1+|x|^2)(1+|y|^2) - (4\langle x, y \rangle + (|x|^2-1)(|y|^2-1)))$$

$$= \frac{4}{(1+|x|^2)(1+|y|^2)} (|x|^2 + |y|^2 - 2\langle x, y \rangle) = \frac{4|x-y|^2}{(1+|x|^2)(1+|y|^2)}$$

$$= \varrho(x) \varrho(y) |x-y|^2 \text{ mit } \varrho(x) = \frac{2}{1+|x|^2}.$$

Mit Lemma 2 folgt die Koeffizientenformel von  $\varphi$ .  $\square$

Dann kehren wir zurück auf die Ein-Punkt-Kompaktifizierung von  $\mathbb{C}$  zu  $\hat{\mathbb{C}} = \mathbb{C} \cup \{\infty\}$  (vgl. Abschnitt 1.4.2), die wir hier auf  $n \geq 2$  reelldimensionale reellprojektive Räume ( $\mathbb{C} = \mathbb{R}^2$  entspricht dem Fall  $n=3$ .) Wir definieren  $\hat{\mathbb{R}}^n := \mathbb{R}^n \cup \{\infty\}$  und setzen  $\hat{\varphi}$  fort zu

$$\hat{\varphi}: \hat{\mathbb{R}}^{n-1} \rightarrow S^{n-1}, \quad x \mapsto \hat{\varphi}(x) := \begin{cases} \varphi(x) & ; x \in \mathbb{R}^{n-1} \\ N & ; x = \infty \end{cases}$$

Auf  $\hat{\mathbb{R}}^{n-1}$  führen wir die Metrik

$$\hat{d}(x, y) := |\hat{\varphi}(x) - \hat{\varphi}(y)|,$$

ein, dabei bezeichnet  $|\cdot|$  die Euklidische Norm auf dem  $\mathbb{R}^n$ . Da  $\hat{\varphi}$  injektiv ist, handelt es sich bei  $\hat{d}$  tatsächlich um eine Metrik; für die  $\Delta_S$ -Ungleichung müssen wir nichts tun!



ist diesen "Trick" anzuwenden

$$\hat{\varphi}: (\mathbb{R}^{u-1}, \hat{d}) \rightarrow (S^{u-1}, | \cdot |)$$

per Definitionen zu einem isometrischen (= abstands-erhaltenden) Isomorphismus (metrischer Räume).

Bestimmen wir zum Abschluss noch eine explizite Berechnungsvorschrift für  $\hat{d}$ :

Die Rechnung im Schritt (v) des Beweises von Satz 1 zeigt, dass für  $x, y \in \mathbb{R}^{u-1}$ :

$$\hat{d}(x, y) = |\varphi(x) - \varphi(y)| = \frac{2|x-y|}{(1+x^2)^{1/2}(1+y^2)^{1/2}}$$

Für  $x \in \mathbb{R}^{u-1}$  und  $y = \infty$  haben wir  $\varphi(y) = N = (0, \dots, 0, 1)$  und daher

$$\begin{aligned} |\hat{\varphi}(x) - \hat{\varphi}(y)|^2 &= \sum_{i=1}^{u-1} \frac{4x_i^2}{(1+x_i^2)^2} + \left( \frac{x^2-1}{x^2+1} - 1 \right)^2 \\ &= \frac{1}{(1+x^2)^2} (4|x|^2 + 4) = \frac{4}{(1+x^2)^2}, \text{ also} \end{aligned}$$

$$\hat{d}(x, y) = |\hat{\varphi}(x) - \hat{\varphi}(y)| = \frac{2}{(1+x^2)^{1/2}}$$

Es handelt sich also bei  $\hat{d}$  genau um die euklidische Metrik, die wir in 1.4.2 für  $(\mathbb{C}, \hat{d})$  angegeben haben. Da  $(\mathbb{C}, \hat{d})$  isometrisch isomorph ist zu  $(S^2, | \cdot |)$ , ist die Bezeichnung "Riemannsche Zahlen-sphäre" jetzt gerechtfertigt.